

تأثیر نسبت سدیم به گوگرد بر خواص رنگدانه اولترامارین

وحیده تاجر کجینه باف^{۱*}، فرشته رضائیان^۲، مسعود رجبی^۳ و سعید باغشاهی^۴

۱- مریبی دانشگاه آزاد اسلامی واحد تاکستان، گروه مواد، تاکستان، ایران

۲- کارشناس ارشد دانشگاه بین‌المللی امام خمینی (ره)، گروه مواد، قزوین، ایران

۳- استادیار دانشگاه بین‌المللی امام خمینی (ره)، گروه مواد، قزوین، ایران

۴- استادیار دانشگاه بین‌المللی امام خمینی (ره)، گروه مواد، قزوین، ایران

* vtajer@yahoo.com

(تاریخ دریافت: ۱۳۹۱/۰۸/۰۳، تاریخ پذیرش: ۱۳۹۱/۱۰/۰۵)

چکیده

سترنر رنگدانه اولترامارین سبز و آبی با تغییر نسبت گوگرد به سدیم با استفاده از کاتولن، گوگرد، هیدروکسید سدیم، سیلیس و رزین بررسی شد. خواص رنگدانه‌ها با استفاده از آنالیزهای فازی، طیف‌سنجدی، رنگ‌سنجدی، توزیع اندازه ذرات و میکروسکوب الکترونی بررسی گردید. آنالیز فازی، فاز اولترامارین را در نمونه‌ها تایید کرد. نتایج بدست آمده از طیف‌سنجدی و رنگ‌سنجدی مشخص کرد که با افزایش قلیائیت ترکیب، رنگ نمونه‌ها به آبی تیره گرایش پیدا می‌کند و با کاهش مقدار گوگرد، تعداد رادیکال‌های $\cdot S_2$ افزایش یافته و رنگ سبز بر آبی غلبه می‌یابد. آنالیز توزیع اندازه ذرات مشخص کرد اندازه ذرات رنگدانه حدود ۱ میکرومتر است. دست‌یابی به رنگ‌های متنوع در محدوده سبز-آبی با کنترل نسبت عوامل رنگ‌زا از نتایج مثبت پژوهش محسوب می‌شود.

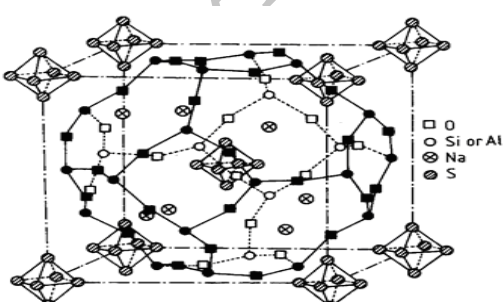
واژه‌های کلیدی:

رنگدانه اولترامارین، نسبت سدیم به گوگرد، طیف‌سنجدی، مختصات رنگی، رنگ آبی

که داخل قفس‌های هشت‌وجهی قرار گرفته‌اند، که به قفس‌های

۱- مقدمه

اولترامارین یک رنگدانه طبیعی است که در قرون وسطی از سنگ لاجورد^۱ به عنوان منبع اصلی این رنگدانه تأمین می‌شد. منابع محدود سنگ لاجورد در شهر بدخشان^۲ افغانستان قرار دارد که به دلیل کیفیت بالای محصولات همچنان موردن توجه است [۱-۳]. این رنگدانه معدنی یک میزآل خالص است و رنگ آبی آن ناشی از گروه سودالایت میزآل‌های فلدسپار است که مهم ترین آن‌ها $Na_8Al_6Si_6O_{24}SO_4$ ، $Na_8Al_6Si_6O_{24}Cl_2$ ، $Na_8Al_6Si_6O_{24}(Ca,Na)_{4.8}$ $Al_6Si_6O_{24}(SO_4,S)$ میزآل‌ها به صورت یک شبکه تراهدرال آلومینا سیلیکاتی هستند



شکل (۱): ساختار اولترامارین شامل مواضع گوگرد و سدیم در شبکه آلومینوسیلیکات [۲]

کاتیون‌هایی مانند Ca^{2+} , K^+ , Na^+ و آنیون‌هایی مثل Cl^- , OH^-

زئولیت نسبت به کاچولن، تا حدودی موفق به سنتز این رنگدانه با رنگ های زرد و سبز شده اند.

اما در کار تحقیقاتی حاضر، سعی شده است با استفاده از مواد اولیه مانند کاچولن، سیلیس، رزین و نسبت های مختلف هیدروکسید سدیم و گوگرد، از طریق تغییر نسبت سدیم به گوگرد و به دنبال آن کنترل درصد رادیکال های S_3^- و S_2^- در ساختار به رنگ های مختلف در محدوده سبز-آبی دست یافت.

۲- مواد و روش انجام آزمایش ها

مواد اولیه مورد استفاده در این پژوهش شامل گوگرد (جرم مولی gr/mol ۳۲/۰۶، کد ۲۰۱۰۰، محصول شرکت قطران شیمی)، هیدروکسید سدیم (جرم مولی gr/mol ۴۰، کد ۱۰۶۴۶۷، محصول شرکت Merck)، سیلیس (جرم مولی gr/mol ۶۰/۱، خلوص ۹۹٪، محصول شرکت سیلیس همدان) و صمغ عربی (جرم مولی gr/mol ۳۵۰۰۰) به عنوان رزین بودند. آنالیز شیمیایی کاچولن WBB در جدول ۱ آورده شده است.

جدول (۱): آنالیز شیمیایی کاچولن WBB (درصد وزنی)

L.O.I	S	P_2O_5	MnO	TiO_2	MgO	K_2O	Na_2O	CaO	Fe_2O_3	Al_2O_3	SiO_2
۰/۸۷	۰/۰۰۲	۰/۰۵۲	۰/۰۰۴	۰/۰۴۱	۰/۳۸	۳/۴۹	۰/۰۳	۰/۱۲	۱/۰۹	۳/۴۹	۵۷/۳

شدند. برای فعال کردن، کاچولن مورد استفاده قبل از اختلاط به مدت ۲ ساعت در دمای $550^{\circ}C$ کلسینه شد. دمای

SO_4^{2-} و S_n^- یا حتی مولکول های خشای آب می توانند داخل این قفس ها قرار گیرند، به طوریکه با جای گزینی سدیم، ترکیب شیمیایی به صورت $[Na_{8-Y}Al_{6-Y}Si_{6+Y}O_{24}S_x]$ در می آید [۲]. سنگ لاجورد حاوی دیگر میزال های سودالایتی مثل پیریت (FeS_2)، کلسیت ($CaCO_3$)، ولاستونیت ($CaSiO_3$)، دولومیت ($CaMg(CO_3)_2$) و غیره نیز است [۱]. منابع محدود و کمیاب این ماده معدنی و سختی استخراج و تقاضای بالا سبب شد، محققان موفق به سنتز رنگ های مختلف آن شوند.

عامل ایجاد این رنگ ها گروه های گوگرد مانند S_3^- و S_2^- و S_4^- هستند این رادیکال های گوگرد به ترتیب عوامل ایجاد رنگ آبی و زرد و قرمز هستند [۴] و طی یک فرایند سنتزی با برقراری واکنش بین این گروه های آنیونی گوگرد و کاتیون های سدیم و نفوذ آن ها درون شبکه آلومینوسیلیکاتی رس، رنگدانه های متنوع ایجاد می شوند. برای دستیابی به رنگ های متنوع اولترامارین، تلاش هایی با استفاده از رس های دیگر مانند زئولیت صورت گرفته است، که با توجه به هندسه و اندازه متفاوت ساختار

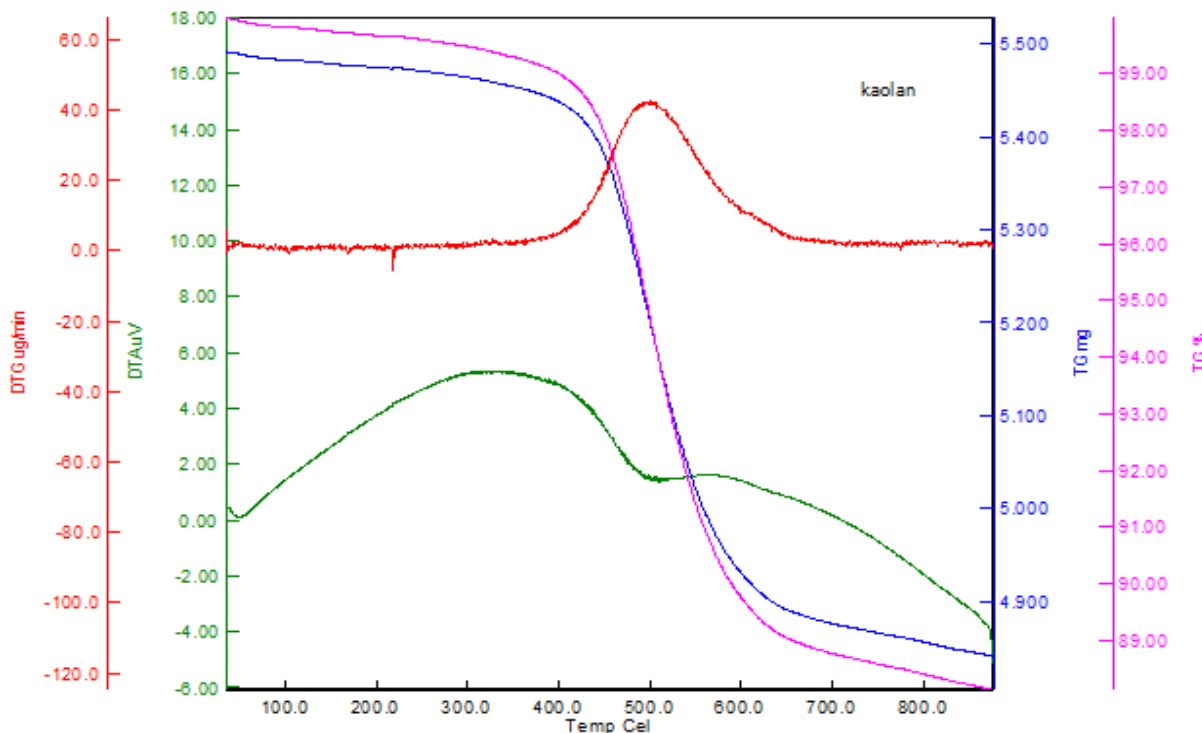
جدول (۱): آنالیز شیمیایی کاچولن WBB (درصد وزنی)

مواد اولیه پس از توزین با ترکیب هایی مطابق جدول ۲ توسط آسیاب ماهواره ای مدل PM200، به مدت ۲ ساعت آسیاب

جدول (۲): آمیز ترکیب ها و نسبت سدیم به گوگرد در هر یک از نمونه ها

نمونه	متاکاچولن	گوگرد	هیدروکسید سدیم	سیلیس	رزین	نسبت سدیم به گوگرد	L.O.I
۱	۳۸	۲۶	۲۲	۸	۶	۰/۴۸	۰/۰۰۲
۲	۳۸	۲۴	۲۴	۸	۶	۰/۵۷	۰/۰۵۲
۳	۳۸	۲۲	۲۶	۸	۶	۰/۶۸	۰/۰۰۴
۴	۳۸	۲۱	۲۷	۸	۶	۰/۷۱	۰/۰۴۱
۵	۳۸	۲۰	۲۸	۸	۶	۰/۸۰	۰/۰۴۱

کلسیناسیون بر اساس آنالیز حرارتی انجام شده (شکل ۲) تعیین شد.



شکل (۲): آنالیز حرارتی کاولین برای تعیین دمای تشكیل متاکاولن

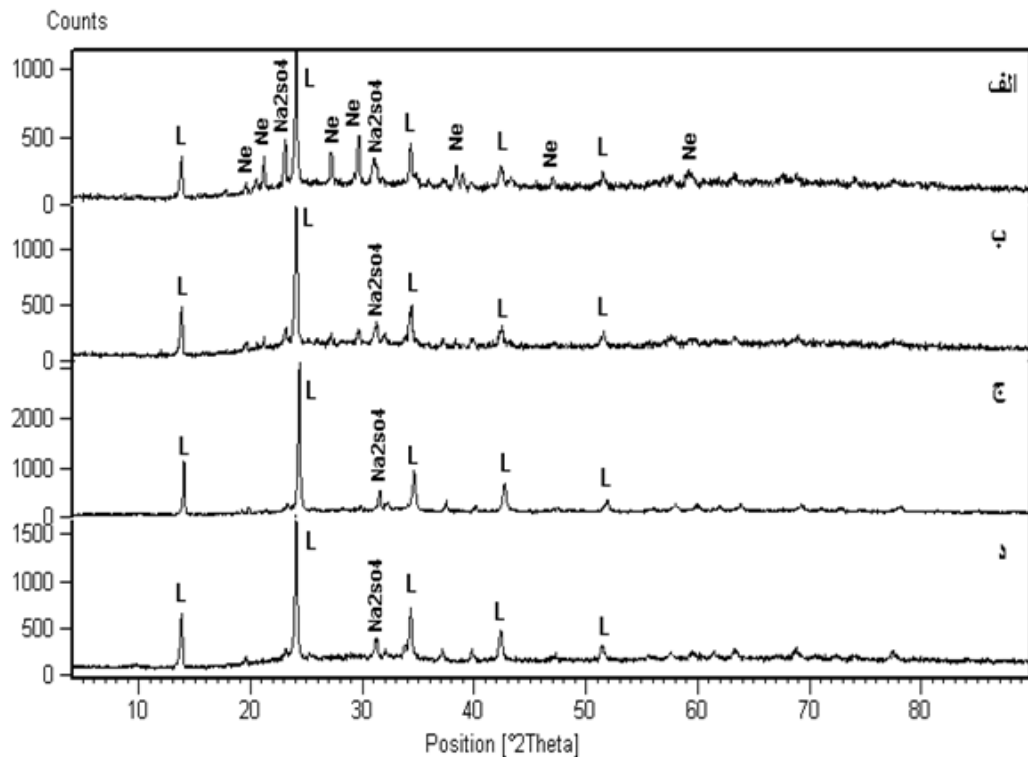
شکل ۳ آنالیز فازی نمونه‌های ۲ تا ۵ را نشان می‌دهد، آنالیز فازی بر روی نمونه ۱ به دلیل عدم تشكیل رنگ آبی، انجام نشد. از مقایسه نمونه‌ها مشخص می‌شود با افزایش درصد هیدروکسید سدیم و کاهش گوگرد تعداد پیک‌های فرعی کاهش و شدت پیک‌های اصلی افزایش یافته است. از طرفی حضور فاز نفلین در نمونه ۲ و حذف این فاز در نمونه‌های ۳ تا ۵ نشان می‌دهد تحت این شرایط تغییر فاز از نفلین به سدیم آلمینوسیلیکات و لازوریت نزدیک شده است. ظاهراً به دلیل عدم شستشوی نمونه قبل از انجام آنالیز، فاز فرعی Na_2SO_4 در همه نمونه‌ها حضور دارد، اما چون شدت این فاز با بهبود نسبت سدیم به گوگرد کاهش یافته است، به نظر می‌رسد حضور بیشتر آن در نمونه ۲ به دلیل عدم تناسب بین گوگرد و سدیم است و در نمونه‌های ۳ تا ۵ این فاز تا حدودی حذف شده است.

نمونه‌ها بعد از عملیات آسیاب و هموزن‌سازی در بوتهای آلمینایی قرار داده شده و در آن‌ها با خمیر کاولن کاملاً محکم شد. تمامی نمونه‌ها به مدت ۹ ساعت در دمای 750°C در کوره مدل FILL1320 سنتر شدند و بعد از خروج از کوره، آسیاب شده و با آب گرم توسط صفحه داغ شسته و در دمای 100°C خشک شدند.

آنالیز حرارتی کاولن تحت اتمسفر نیتروژن توسط دستگاه (Perkin Elmer) DTA-TG، آنالیز فازی نمونه‌ها با دستگاه (Jeol JDX-8030) XRD، طیف‌سنجدی (Tensor27 Bruker) FTIR، پهنه‌ای باند جذب و رنگ‌سنجدی CIELab با دستگاه اسپکتروفوتومتر (SP64)، توزیع اندازه ذرات توسط دستگاه Nano ZS (red badge) DLS (ZEN 3600) و تصویر میکروسکوپ الکترونی با دستگاه SEM (Cam Scan MV2300) انجام شد.

۳- نتایج و بحث

۳-۱- آنالیز فازی



شکل (۳): آنالیز فازی نمونه‌های (الف) ۲، (ب) ۳، (ج) ۴ و (د) ۵؛ Ne: نفلین و L: لازوریت

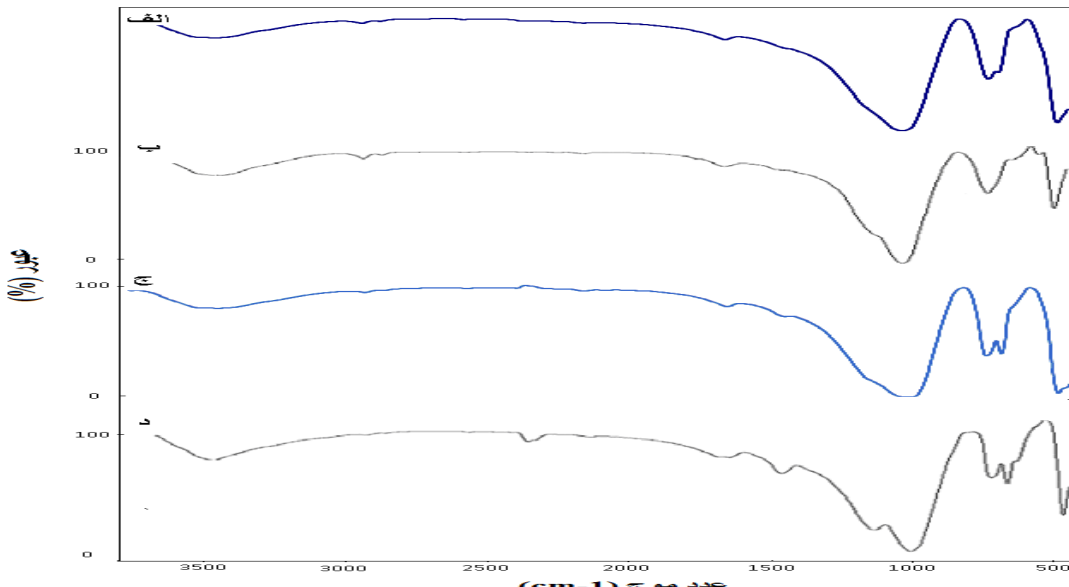
اندازه بلورک‌ها، کرنش شبکه و مشخصات بلورشناسی فاز لازوریت تشکیل شده در نمونه‌ها در جدول ۳ ارائه شده است.

جدول (۳): اندازه بلورک‌ها، کرنش شبکه و مشخصات بلورشناسی فاز لازوریت تشکیل شده در نمونه‌ها

ساختار کریستالی	زاویه (°)			پارامتر شبکه (Å)			کرنش شبکه (%)	اندازه کریستالی (بلورک) (nm)	
	گاما	بتا	آلفا	c	b	a			
اورتورومبیک	۹۰	۹۰	۹۰	۴/۳۰	۸/۶۶	۱۸/۵۵	۰/۳۲۳	۴۶/۴	۱
اورتورومبیک	۹۰	۹۰	۹۰	۸/۶۷	۹/۰۹	۹/۴۵	۰/۳۹۸	۴۵/۹	۲
اورتورومبیک	۹۰	۹۰	۹۰	۶/۴۲	۹/۰۲	۱۱/۴۲	۰/۴۸۱	۳۷/۶	۳
تراتاگونال	۹۰	۹۰	۹۰	۸/۹۸	۷/۳۱	۷/۳۱	۰/۳۹۷	۴۵/۹	۴
تراتاگونال	۹۰	۹۰	۹۰	۷/۲۶	۹/۰۷	۹/۰۷	۰/۴۰۲	۴۵/۹	۵

پهنه نشان می‌دهد که مربوط به گروه عاملی هیدروکسید ناشی از آب سطحی است [۵]. همچنین پیک جذبی در محدوده cm^{-1} ۱۱۵۰-۱۰۰۰ مربوط به آئیون‌های سولفات است [۶-۴].

۲-۲-۳- آنالیز طیف‌سننجی FTIR آنالیز طیف‌سننجی نمونه‌های ۲ تا ۵ در شکل ۴ نشان داده شده است. آنالیز طیف‌سننجی همه نمونه‌ها در حدود 3500 cm^{-1} پیک



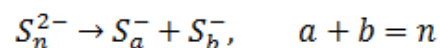
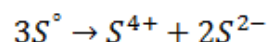
شکل (۴): آنالیز طیف سنجی FTIR نمونه های: (الف) ۲، (ب) ۳، (ج) ۴ و (د) ۵

به سمت سبز میل پیدا می کند. بر این اساس به نظر می رسد هرچه مقدار گوگرد موجود در ترکیب کمتر باشد، n مقدار کوچکتری خواهد داشت، در نتیجه در نمونه ۵ به دلیل دارا بودن گوگرد کمتر، رادیکال هایی با تعداد اتم کمتر مثل S_2^- و S^{6+} بیشتر از رادیکال های بزرگتر مثل S_3^- ایجاد می شوند.

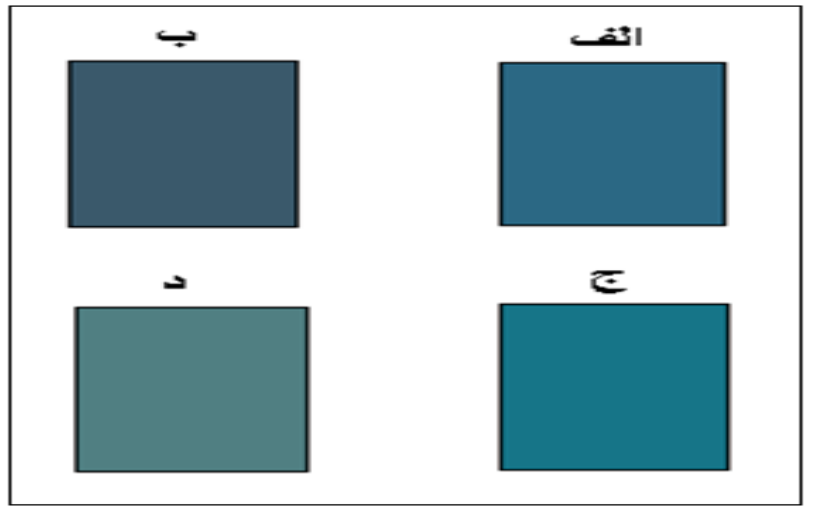
۳-۳- رنگ و آنالیز اسپکترو فوتومتری
رنگ نمونه ۱ طوسی بود که احتمالاً به دلیل پایین بودن نسبت سدیم به گوگرد و قلیائیت کم بود (نسبت سدیم به گوگرد ۰/۴۸)، عوامل رنگ زا در آن تشکیل نشده بود. رنگ حاصل از ستر نمونه های ۲ تا ۵ در شکل ۵ نمایش داده شده است. چنانچه در این شکل مشخص است رنگ نمونه های سنتز شده با افزایش نسبت سدیم به گوگرد، به ترتیب آبی کمرنگ، آبی پررنگ، سبز-آبی و سبز است. در واقع با افزایش درصد هیدروکسید سدیم، ابتدا شدت رنگ آبی افزایش یافته و سپس با کاهش درصد گوگرد به سمت رنگ سبز گرایش یافته است.

طیف نمونه ۳ در 527 cm^{-1} و 580 cm^{-1} دو پیک نشان می دهد. سانچو [۷] در بررسی طیف مربوط به رنگدانه اولترامارین، این دو پیک را به فرکانس های حاصل از رادیکال S_3^- نسبت داده است که مشا رنگ آبی هستند. این دو پیک در طیف مربوط به نمونه های دیگر دیده نمی شوند. ظاهراً در نمونه ۵ به علت غلبه رادیکال های S_2^- و در نمونه ۲ به دلیل تشکیل رنگدانه اولترامارین باشد کمتر، این پیک ها ظاهر نشده اند.

پیک های جذب شده در محدوده $800\text{-}400\text{ cm}^{-1}$ مربوط به ساختار سودالایت هستند که در هر ۴ نمونه دیده می شود [۵-۶]. در نمونه ۵، یک پیک در حدود 2340 cm^{-1} وجود دارد که اسمیت [۱] در بررسی های خود این پیک را به S^{6+} نسبت داده است. این پیک در نمودار سایر نمونه ها دیده نمی شود. طبق بررسی های کرووالاک [۶]، رادیکال های گوگرد در اثر شکافتن پلی سولفیدها به صورت زیر ایجاد می شوند:



همان طور که ذکر شد هر قدر مقدار گوگرد کمتر باشد، رنگدانه



شکل (۵): رنگ نمونه‌های : (الف) ۲، (ب) ۳، (ج) ۴ و (د) ۵

ظاهر شدن رنگ سبز-آبی می‌شود و نهایتاً در نمونه ۵ با کاهش بیشتر درصد گوگرد موجود در ترکیب، مقدار رادیکال‌های S_2^- به رادیکال‌های S_3^- غلبه کرده و رنگ سبز کاملاً بروز می‌کند.

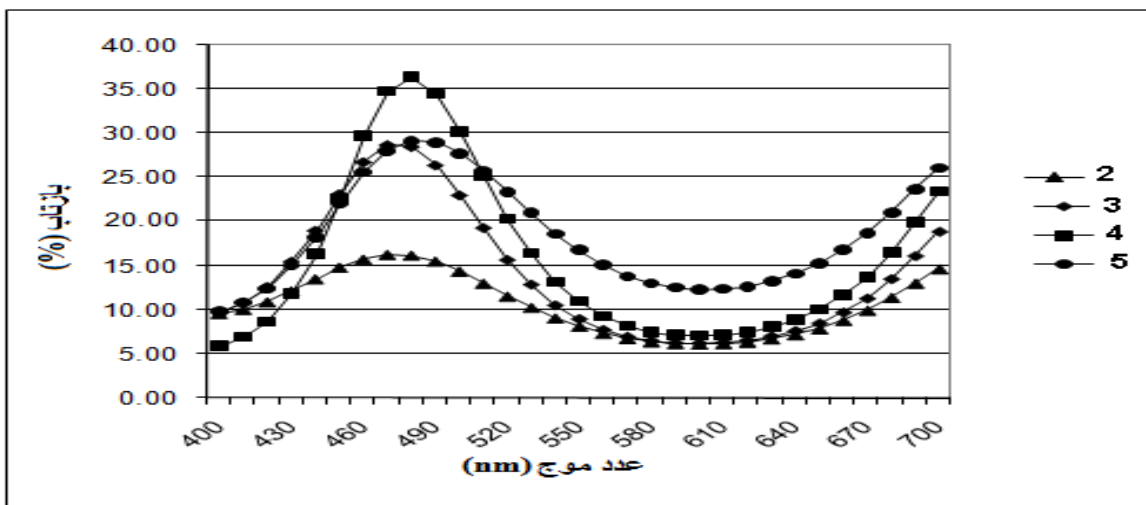
طیف‌های انعکاسی نمونه‌ها در شکل ۶ آورد شده است. همان‌طور که مشاهده می‌شود. همگی در ناحیه 600 nm پیک جذبی دارند (6% انعکاس) که این پیک مربوط به رنگ آبی و ناشی از رادیکال‌های S_3^- است [$11, 16, 21$]. ظاهراً نمونه ۴ و ۵ به دلیل دارا بودن رادیکال‌های S_2^- و ایجاد رنگ سبز در آن‌ها، پیک‌های ضعیف‌تری در این ناحیه دارند و نمونه‌های ۲ و ۳ به دلیل وجود تعداد رادیکال‌های S_3^- بیشتر نسبت به سایر نمونه‌ها، پهن‌ترین پیک را در این ناحیه دارند.

پیک واقع در 400 nm حاصل از رادیکال‌های S_2^- و مربوط به رنگ زرد است و در محدوده بنفش و فرابنفش جذب نور دارد. این پیک در نمونه ۴ و ۵ بالاترین جذب را دارد. در نمونه ۵ پیک واقع در 600 nm جذب کم‌تری نسبت به پیک واقع در 400 nm دارد که به نظر می‌رسد، دلیل آن حضور درصد بالاتر رادیکال‌های S_2^- نسبت به S_3^- در این نمونه است. اما در نمونه ۴ همان‌طور که در نتایج مربوط به مختصات رنگی نیز پیداست رادیکال‌های S_2^- و S_3^- در تعادل هستند و در نتیجه پیک‌های آن در 400 و 600 nm تقریباً جذب یکسانی دارند.

اما در نمونه ۲ با افزایش درصد سدیم و بهینه شدن نسبت سدیم به گوگرد، رادیکال‌های S_3^- تشکیل شده با کاتیون‌های سدیم موجود، ترکیب شده و سبب ایجاد رنگ آبی شده‌اند. در نمونه ۳ با افزایش بیشتر قلیائیت ترکیب، شدت رنگ آبی افزایش می‌یابد.

چنانچه ذکر شد، رادیکال‌های S_3^- و S_2^- به ترتیب عوامل ایجاد رنگ آبی و زرد هستند [۱۰-۷، ۹-۶، ۱، ۳] و همچنین در یک کار پژوهشی که توسط بوت [۹] انجام شد، مشخص شد که هر چه مقدار گوگرد کم‌تر باشد، رنگ‌دانه به سمت سبز میل پیدا می‌کند. به همین دلیل در نمونه ۲ و ۳ به دلیل وجود درصد بالاتر گوگرد نسبت به سایر نمونه‌ها و با استناد به نتایج طیف‌سنجی در قسمت بعد، رادیکال‌های S_3^- بیشتر از رادیکال‌های S_2^- تشکیل شده‌اند و رنگ آبی در این نمونه‌ها نسبت به سایر نمونه‌ها غالب است، اما شدت رنگ آبی در نمونه ۳ بیش از نمونه ۲ است که علت آن بالاتر بودن قلیائیت نمونه ۳ نسبت به نمونه ۲ است.

ظاهراً شدت رنگ آبی به قلیائیت ترکیب و درصد مناسب سدیم بستگی دارد، اما مقدار گوگرد موجود و متعاقباً رادیکال‌های S_3^- عوامل موثر در ایجاد رنگ آبی هستند. به طوریکه با مقایسه نمونه ۳ و ۴ به نظر می‌رسد که کاهش گوگرد در نمونه ۴ نسبت به نمونه ۳، منجر به افزایش درصد رادیکال‌های S_2^- شده و بین رادیکال‌های S_3^- و S_2^- تعادل برقرار می‌شود که این امر سبب



شکل (۶): طیف انعکاسی نمونه‌های ۲ تا ۵

منفی بودن پارامتر b^* نیز به ترتیب بر چیرگی دو طیف زرد و آبی در نمونه دلالت خواهند داشت. بنابراین با استفاده از مقادیر این آنالیز، مختصات رنگی نمونه‌ها بطور کمی قابل مقایسه خواهند بود.

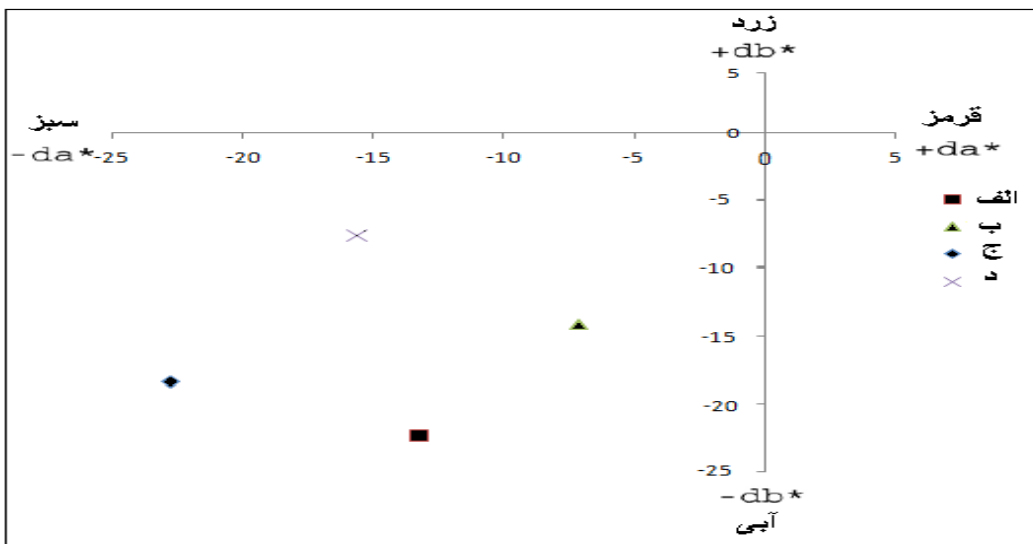
جدول ۳ و شکل ۷ به ترتیب مختصات رنگی نمونه‌ها و محل آن‌ها را در فضای رنگ CIELab نشان می‌دهند. چون نمونه ۱ قادر رنگ موردنظر بود، تحت آزمون CIELab قرار نگرفت.

۴-۴-آزمون مختصات رنگی (CIELab)

برای تعیین مختصات رنگی رنگدانه از آنالیز CIELab استفاده شد. فضای رنگی CIELab در یک مختصات سه بعدی معرفی می‌شود که محور عمودی آن (L^*) در صد بازتاب نوری رنگدانه را از کمترین حالت در صفر (سیاه) تا بیشترین حالت در ۱۰۰ (سفید) نشان می‌دهد. دو محور دیگر آن a^* و b^* بدون واحد بوده که مشتبه بودن a^* بر غالب بودن طیف رنگ قرمز، و منفی بودن آن بر چیرگی طیف رنگی سبز اشاره دارد. همچنین مشتبه و

جدول (۳): مختصات رنگی نمونه‌های ۲ تا ۵

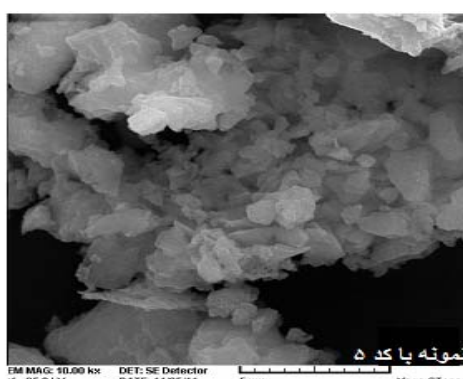
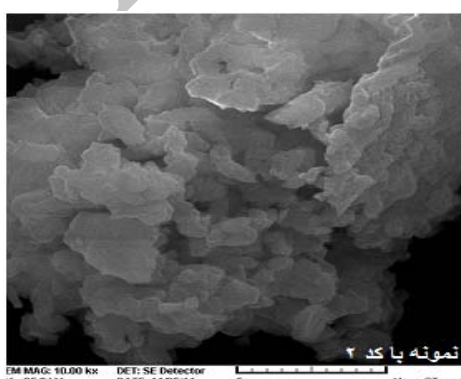
h°	$-a^*/-b^*$	c^*	b^*	a^*	L^*	نمونه
۲۳۹/۴۳	.۰/۵۹	۲۶/۱۱	-۲۲/۴۸	-۱۳/۲۸	۴۱/۰۸	۲
۲۴۱/۰۳	.۰/۵۵	۱۵/۹۳	-۱۳/۹۳	-۷/۷۱	۳۶/۵	۳
۲۱۶/۸۵	۱/۲۶	۲۸/۴۶	-۱۸/۰۷	-۲۲/۷۸	۴۵/۱۹	۴
۲۰۴/۱۹	۲/۲۲	۱۷/۱۳	-۷/۰۲	-۱۵/۶۳	۴۹/۷۴	۵

شکل (۷): مختصات (a^* - b^*) و (a^* - b^*) نمونه های (الف) ۲، (ب) ۳، (ج) ۴ و (د) ۵ در فضای رنگ CIELab

این نمونه و تشکیل رادیکال های S_2^- بیشتر نسبت به سایر نمونه هاست.

نتایج نشان داد رادیکال های گوگرد که عامل ایجاد تنوع رنگی در اولترامارین هستند، با استفاده از نسبت های مناسب سدیم و گوگرد در ترکیب قابل کنترل هستند و از این طریق می توان به رنگ های متنوعی در محدوده سبز آبی دست یافت. همچنین شدت رنگ آبی به قیایت ترکیب بستگی دارد و با افزایش درصد سدیم، افزایش می یابد.

۳-۵- بررسی مورفولوژی
شکل ۸ تصویر میکروسکوپ الکترونی نمونه ۲ و ۵ را نشان می دهد.



شکل (۸): تصویر میکروسکوپ الکترونی نمونه های ۲ و ۵

همان طور که در شکل ۷ و جدول ۳ مشخص است نمونه ۳ که بالاترین شدت رنگ آبی را دارد، نسبت به سایر نمونه ها مقدار a^*/b^* کمتری دارد و این نکته قابل توجه است که نمونه های ۲ و ۳ هر دو، b^* -بیشتری نسبت به a^* -دارند که تاییدی بر غالب بودن رنگ آبی در آن هاست، اما همان طور که مشخص است اختلاف بیشترین بین a^* - و b^* - در نمونه ۳ نسبت به نمونه ۲ بیان گر بالاتر بودن خلوص رنگ آبی در نمونه ۳ است.

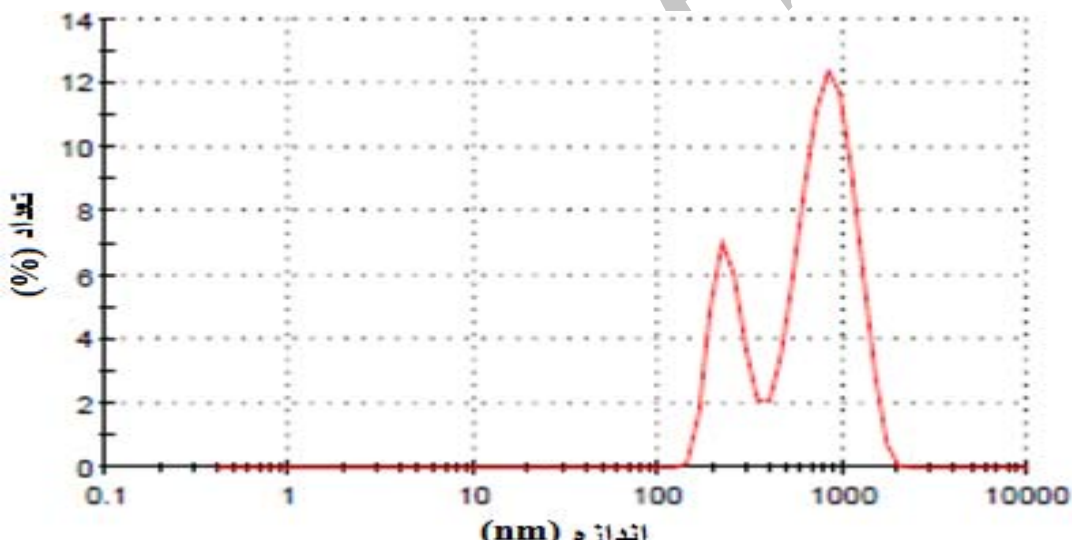
در نمونه ۴، مشاهده می شود مقدار عددی b^* - و a^* - تقریباً به هم نزدیک شده و نسبت a^*/b^* - حدود ۱/۲ می شود که بیان گر ایجاد تعادل بین رادیکال های S_3^- و S_2^- و ایجاد رنگ سبز آبی است، اما در نمونه ۵، نسبت a^*/b^* - حدود ۲/۲۲ شده که بیشترین مقدار را دارد و نشان دهنده غالب بودن سبز در

دستگاه‌های فراوری شوند. همان‌طور که مشاهده می‌شود اندازه ذرات رنگدانه‌ها در حدود یک میکرون است.

۳-۶- توزیع اندازه ذرات

شکل ۹ نمودار توزیع ذرات نمونه ۲ را نشان می‌دهد. میانگین اندازه قطر به دست آمده ذرات نمونه، ۱۰۷۰ نانومتر (حدود ۱ میکرومتر) است که با تصاویر میکروسکوب الکترونی هم‌خوانی دارد. با توجه به این که اندازه متوسط ذرات رنگدانه اولترامارین تجاری در محدوده ۵-۷۰ میکرومتر تغییر می‌کند [۴]، نمونه‌ها مناسب هستند. البته بدیهی است که با آسیاب کردن می‌توان به دانه‌بندی ریزتر نیز دست یافت.

همان‌طور که در تصویر دیده می‌شود ذرات در اثر انرژی سطحی زیادی که بر اثر ریزدانگی ایجاد شده، به یکدیگر چسبیده‌اند و تشکیل آگلومره داده‌اند. ساختار اولترامارین به صورت یک شبکه مکعبی است [۲]، اما از آنجاکه نمونه‌ها بعد از سنتر تحت عملیات آسیاب و شست و شو قرار گرفته‌اند، شکل مکعبی دانه‌ها تا حدودی تغییر یافته و از ساختار اولیه خارج شده است. با انجام عملیات آسیاب، انتظار می‌رفت شکل نمونه‌ها به سمت کروی میل پیدا کند، اما همان‌طور که در تصویر میکروسکوب الکترونی نمونه قابل مشاهده است، ذرات تا حدودی گوشیدار هستند که این دلیلی بر سختی بالای رنگدانه اولترامارین است، به دلیل همین سختی بالا، ذرات اولترامارین می‌توانند باعث سایش



شکل (۹): توزیع اندازه ذرات نمونه ۲

سبز و با افزایش گوگرد طیف رنگی به آبی تمايل پیدا می‌کند. همچنین مشاهده شد که شدت رنگ آبی به میزان قلیاًیت ترکیب وابسته بوده و با افزایش درصد سدیم، افزایش می‌یابد. آنالیز توزیع اندازه ذرات مشخص کرد رنگدانه حاصله دارای ذراتی در حدود ۱ میکرومتر است. دست‌یابی به رنگ‌های متنوع در محدوده سبز-آبی با کنترل نسبت عوامل رنگ‌گذاز از نتایج مثبت این پژوهش محسوب می‌شود.

۴- نتیجه‌گیری

سنتر اولترامارین‌های سبز و آبی با کنترل نسبت سدیم به گوگرد با استفاده از کائولن در دمای 75°C صورت گرفت. نتایج نشان داد مقدار رادیکال‌های گوگرد به عنوان عامل ایجاد کننده طیف‌های مختلف رنگی در اولترامارین، با بهینه کردن نسبت سدیم به گوگرد قابل کنترل است. بر اساس نتایج با کاهش مقدار گوگرد، رادیکال‌های S_2 افزایش یافته و طیف رنگی به

Dyes and Pigments, Vol. 58, pp. 73-82, 2003.

- [10] J. Fabian, N. Komiha, R. Linguerri & P. Rosmus, “The absorption wavelengths of sulfur chromophores of ultramarines calculated by time dependent density functional theory”, Journal of Molecular Structure, Vol. 801, pp. 63-69, 2006.
- [11] “Elemental sulfur”, Chemistry department, University of Washington, Seattle Washington 98195, and Inorganic material research Division, Lawrence Berkeley laboratory, University of California Berkeley, 1975.

1. Lapis lazuli
2. Badakhshan
3. Sodalite
4. Nosean
5. Hauyne

۵-قدرتانی و تشکر

نویسندها از دانشگاه آزاد اسلامی، واحد تاکستان، برای تامین منابع مالی انجام این پژوهش قدردانی می‌نمایند.

۶-مراجع

- [1] G.D. Smith, R.J. Klinshaw, “The presence of trapped carbon dioxide in lapis lazuli and its potential use in geo sourcing natural ultramarine pigments”, Journal of Cultural Heritage, Vol. 10, pp. 415-421, 2008.
- [2] G. Baxbaum, G Pfaff, “Industrial inorganic pigment”, 3rd ed., Wiley-VCH, 2005.
- [3] S. Kowalak, A. Jankowska & S. Zeidler, “Ultramarine analogs synthesized from cancrinite”, Microporous and Mesoporous Materials, Vol. 93, pp. 111-118, 2006.
- [4] A. A. Landman, D. de Waal, “Flay ash as a potential starting reagent for the synthesis of ultramarine blue”, Materials Research Bulletin, Vol. 39, pp. 655-661, 2003.
- [5] E.C. Pascual, R.S. Puche, A.G. Herrero & J. Romero de paz, “Cluster ordering in synthetic ultramarine pigments”, Microporous And Mesoporous Materials, Vol. 116, pp. 344-351, 2008.
- [6] S. Kowalak, A. Jankowska & A.B. Wieckowski, “Sulfur radicals embedded in various cages of ultramarine analogs prepared from zeolites”, Journal of Solid State Chemistry, Vol. 180, pp. 1119-1124, 2007.
- [7] J.P. Sancho, O.J. Restrepo, P. Garcia & J. Ayala, “Ultramarine blue from Asturian hard kaolins”, Clay Pigment Science, Vol. 41, pp. 133-142, 2008.
- [8] A. Jankowska, S. Kowalak & S. Zeidler, “Synthesis of ultramarine analogs from erionite”, Microporous and Mesoporous Materials, Vol. 110, pp. 570-578, 2007.
- [9] D.G. Booth, S.E. Danna & M.T. Weller, “The effect of the cation composition on the synthesis and properties of ultramarine blue”, Journal of